

## Neuro-Fuzzy 를 이용한 GMA 용접의 비드형상 추론 알고리즘 개발

김면희(경북대 대학원 기계공학과), 이종혁(경북대 대학원 기계공학과),  
이태영(구미 1 대학 자동차기계공학전공), 이상룡(경북대 공과대학 기계공학부)

Development of Inference Algorithm for Bead Geometry in GMAW using Neuro-Fuzzy

M.H. Kim(Mech. Eng. Dept., KNU), J.H. Lee(Mech. Eng. Dept., KNU)  
T.Y. Lee(Automotive Mech. Eng., Gumi College) and S.R. Lee(Mech. Eng. Dept., KNU)

### ABSTRACT

In GMAW(Gas Metal Arc Welding) process, bead geometry (penetration, bead width and height) is a criterion to estimate welding quality. Bead geometry is affected by welding current, arc voltage and travel speed, shielding gas, CTWD (contact-tip to workpiece distance) and so on. In this paper, welding process variables were selected as welding current, arc voltage and travel speed. And bead geometry was reasoned from the chosen welding process variables using neuro-fuzzy algorithm. Neural networks was applied to design FL(fuzzy logic). The parameters of input membership functions and those of consequence functions in FL were tuned through the method of learning by backpropagation algorithm. Bead geometry could be reasoned from welding current, arc voltage, travel speed on FL using the results learned by neural networks.

**Key Words :** GMAW(가스메탈아크용접), Bead Geometry, Fuzzy Logic Inference, Neuro-fuzzy Algorithm, Neural Network

### 1. 서론

GMA 용접은 보호가스와 전류, 전압 등 용접변수의 선정에 따라 용접품질을 조절할 수 있으며 자동화의 편리함과 경제적인 이점 때문에 사용빈도가 높은 용접공정이다. 그러나 공정 중에 발생하는 고온과 강한 아크 광(光) 및 보호가스의 사용에 의해 작업조건이 매우 열악하고, 용접도중의 현상은 미리 설정한 표준 용접조건에서 벗어나는 경우가 많아, 이는 실제로 용접불량을 가져오는 원인이 되기도 한다. 용접공정의 자동화는 이러한 열악한 작업환경의 개선, 대량생산 체제에 있어서 생산성의 향상, 용접부의 품질재현성 등을 위해서 필요하고, 이것은 비선형적인 요소와 복잡한 물리현상을 동반하는 용접공정의 해석을 통해 가능하다. 지금까지 용접공정 해석에 관한 많은 연구가 활발히 진행되고 있으며 접근방법으로는 용접현상들을 해석하기 위한 용접공정 변수의 선정과 이러한 변수를 사용하여 용접현상을 해석하는 알고리즘의 개발이 대표적

이다. 용접공정을 분석하기 위한 알고리즘으로는 확률론적 접근, 다양한 실험치를 이용한 인공지능적 접근, 그리고 경험치를 바탕으로 인덱스를 선정하여 이를 적접적으로 사용하는 방법 및 인공지능과 결합된 형태를 이용하는 방법 등을 이용한 예가 있다. 용접된 부위의 비드형상(bead geometry)은 적정한 비드의 외관, 접합 강도부위에서 요구되는 강도 등과 같은 기계적 성질이 만족되었는지를 나타내는 용접품질 평가의 주요기준이다. 비드형상은 일반적으로 용접된 부재의 단면에서 폭, 높이, 용입으로 구분되며 용접전류, 아크전압, 이송속도, 보호가스, 용접자세 및 토치의 겨냥각도, 와이어(wire)의 직경, 표면의 산화청정 정도 등에 의해 영향을 받는다. 이 중에서 가장 영향을 많이 미치는 주 용접공정변수로는 용접전류, 아크전압, 이송속도를 들 수 있다. 비드형상과 용접공정 변수와의 상관관계를 규명하고 비드형상의 예측 및 제어를 위한 연구의 최근 동향은 다음과 같다. 용접 비드형상을 수학적 모델에 의한 예측 및 용접공정변수와 용접 비

드폭의 상관관계를 규명한 연구<sup>1)</sup>, 위빙(weaving)을 수반한 경우에 있어서의 인공신경회로망을 이용한 비드형상 제어에 관한 연구<sup>2)</sup>, 신경회로망을 이용하여 용접공정변수로 용접률 표면상 5 점의 온도로부터 용융지 크기를 예측 제어하는 연구<sup>3)</sup>, 그리고 박판 GMA 용접에서 단락주파수를 이용한 이면비드 제어에 관한 연구<sup>4)</sup>, 아크의 안정화를 위한 퍼지제어기 개발에 관한 연구<sup>5)</sup> 등이 그 예이다. 본 연구에서는 용접전류, 아크전압, 그리고 이송속도를 주요 용접공정 변수로 설정하고 실제 용접(bead-on plate welding)실험을 통하여 용접공정 변수 및 비드형상을 측정한 데이터를 획득하였다. 획득된 데이터는 뉴로-퍼지(neuro-fuzzy) 알고리즘을 이용하여 용접공정 변수에 따른 비드형상 추론 알고리즘을 구성하였다.

## 2. 비드형상

용접 비드형상은 일반적으로 용접된 부재의 단면에서 용입(penetration), 폭(width), 높이(height)로 구분된다. 용입(penetration)은 용접 중 모재표면으로부터 녹아 들어간 깊이를 말하며 용접전류, 아크전압, 이송속도 등에 영향을 받는다. 비드외관에서 고려해야 할 두가지 사항은 비드폭과 높이이다. 이 두 가지 사항은 특히 다중용접에서 결함을 최소화하고 용접 이음부를 채우기 위해서 중요한 사항이다. 만약 비드높이가 너무 크면 다음 층 용접을 할 때 적당한 용접을 하기가 매우 어렵다. 즉, 비드가 좁고 뾰족하면 용융불량이 일어나기 쉽다. 아크전압이 증가하면 비드높이는 감소하고 비드폭은 증가한다. 여기서 비드의 전체체적은 일정하고 단지 비드외관과 형상만 변한다. 비드폭을 증가시키면 높이가 낮아져 편평해지고 용융금속은 보다 효과적으로 모재에 잘 스며들어 모재의 용융을 향상시킨다. 또한 비드외관은 용접전류와 이송속도에 영향을 받는데 전류가 감소하면 비드도 작아지며, 이송속도와 비드의 크기는 반비례한다.<sup>6)</sup>

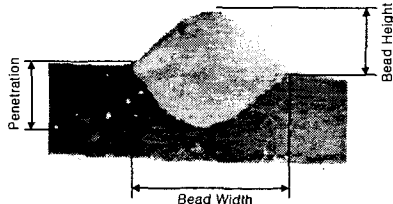


Fig. 1 Bead Geometry

## 3. 용접실험

### 3.1 실험장치

실험장치는 Fig.2 와 같이 용접기 시스템, 토치이송장치인 3 축 직교좌표 로봇, 용접전류, 아크전압의 측정장치로 구성되었으며, 사용된 용접기는 정전압 인버터(inverter) 타입으로 최대 350A를 출력할 수 있으며, 보호가스는 Ar-CO<sub>2</sub>의 혼합가스를 이용하였다. 로봇은 교시작업에 의하여 지정된 토치의 높이를 유지하며 직선용접을 수행하도록 하였다. 소모성 전극와이어로는 혼합가스용의 직경 1.2mm인 YGW 1S를 이용하였다. 용접시편의 재료로는 일반구조용 저탄소강인 SS41을 사용하였고, 시편의 길이와 폭 및 두께는 각각 500×60×3.2mm이다. 용접전류의 측정을 위하여 측정범위 ± 700A이며 용접속도가 10 μs 미만인 모델명 TO-U-300V4의 hall 센서를 이용하였다.

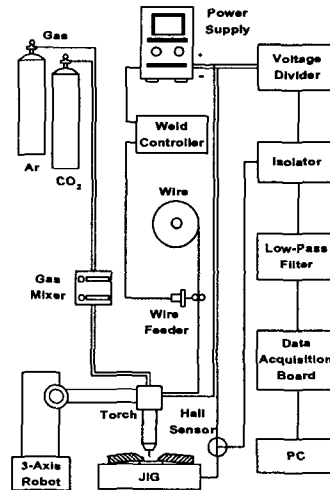


Fig. 2 Schematic diagram of experimental system

### 3.2 실험방법

CTWD는 18mm로, 보호가스는 Ar과 CO<sub>2</sub>의 혼합비가 75:25로 일정하게 설정하고 용접전류, 아크전압, 이송속도를 변화시키면서 단락형 아크이행 모드로 용접을 수행하였다. Hall 센서로부터 측정된 용접전류와 용접기 양단전압으로부터 측정된 아크전압은 저역통과 필터(low-pass-filter)를 거쳐 분해능 12bit, 샘플링 주파수 1 kHz로 데이터를 수집하여 저장하였다. 용접된 시편은 용접시작점으로부터 50mm, 100mm 지점을 절단하여 연마한 다음 단면을 Nital 액(질산 10%, 알코올 90%)으로 etching하여 비드형상을 명확히 드러나게 한 후, Panasonic사의 CCD(WV-CL300) 카메라로 영상을 획득하고, 이미지 처리과정을 거쳐 비드형상 파라메터인 용입, 비드의 폭, 높이를 측정하였다.

### 3.3 실험결과

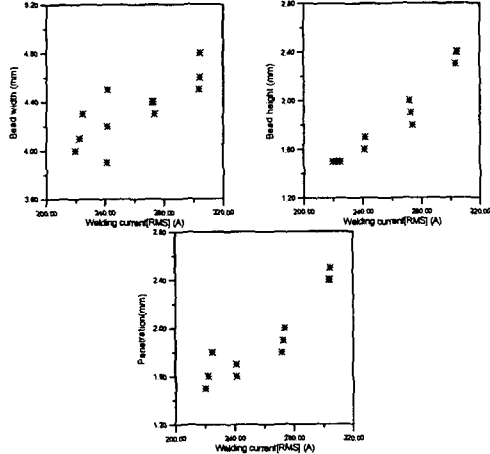


Fig. 3 RMS of welding current vs. bead geometry (arc voltage 26V, travel speed 127.2cm/min)

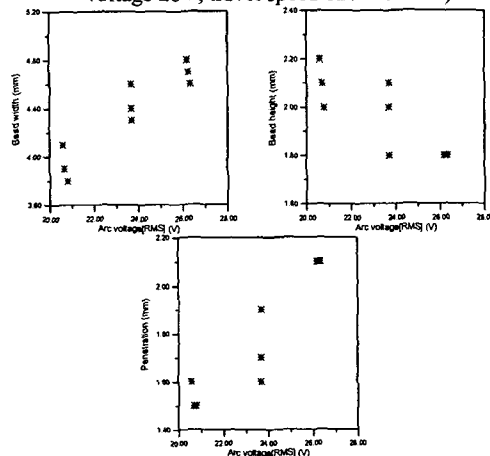


Fig. 4 RMS of arc voltage vs. bead geometry (welding current 190A, travel speed 95.4 cm/min)

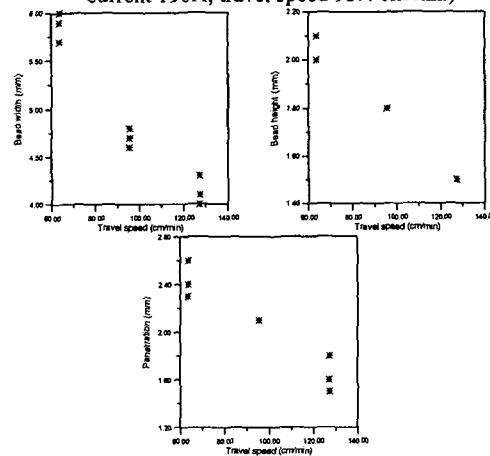
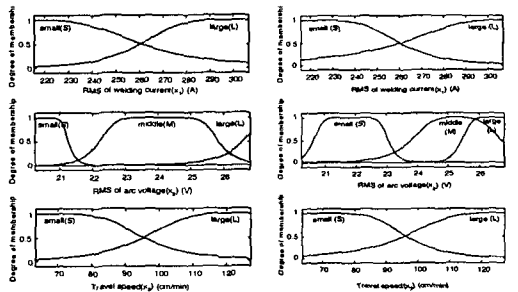


Fig. 5 RMS of travel speed vs. bead geometry (welding current 190A, arc voltage 26V)

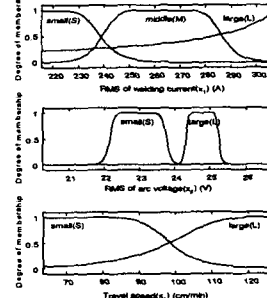
Fig. 3~5 은 다른 조건은 일정하게 두고 용접 전류의 실효값, 아크전압의 실효값, 이송속도에 따른 비드폭, 비드높이, 용입을 나타낸 것이다.

#### 4. 뉴로-퍼지추론

신경회로망의 학습은 퍼지입력 함수의 형태를 generalized bell 함수로 설정하고 각 퍼지입력 변수 멤버쉽 함수의 수를 2 개, 퍼지규칙을 8 개로 하여 추론하였다. 사용된 node 수는 44 개, 학습 데이터 쌍은 75 개를 이용하였으며 추론엔진은 Takaki-Sugeno<sup>7)</sup> 의 방법을 이용하여 구현하였다.



(a) Inferring bead width      (b) Inferring bead height



(c) Inferring penetration

Fig. 6 Learned membership function of input variables

Fig. 6 는 학습에 의해 선정된 입력 멤버쉽 함수, 퍼지규칙, 그리고 후건부의 선형함수식의 계수로 구성된 퍼지제어기로부터 추론된 결과를 나타내었다. 추론오차율은 다음의 식으로부터 구하였다.

$$\text{Inference error percent (\%)} = \frac{\text{Inferred value} - \text{Real value}}{\text{Real value}} \times 100$$

비드폭과 높이의 경우에는 추론오차가 전체영역에 있어 비교적 고른 분포를 나타내었고 최대 추론 오차도 작았으나 용입의 경우에는 용입이 2mm 이하에서 추론오차가 크게 나타났으며 최대 오차도 비드폭과 높이의 경우에 비해 컸다. 이론적으로 용

접전류는 용입에 가장 큰 영향을 미치는 용접공정 변수로서 용입과 비례관계를 가지는데 실제데이터에서는 전류값에 따른 용입이 고전류 영역에서 그와 같은 경향이 잘 나타나지 않았다. 이러한 현상에 의한 추론시 용입이 작은 영역에서의 추론오차와 최대 추론오차값이 커진 것으로 생각된다.

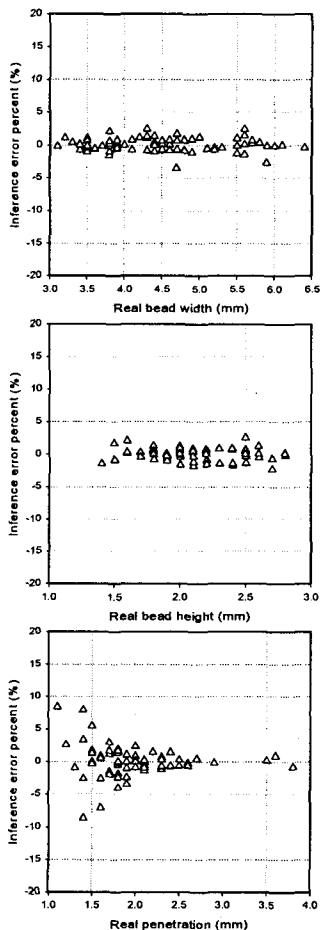


Fig. 7 Inference error percent

## 5. 결론

본 연구에서는 뉴로-퍼지 알고리즘을 이용하여 용접 중 획득된 용접전류, 아크전압, 이송속도의 데이터로부터 용접 비드형상을 추론하는 시스템을 개발하고자 하였다. 그 결과, 신경회로망으로부터 학습된 결과를 퍼지로직에 적용함으로써 용접전류, 아크전압, 용접속도로부터 뉴로-퍼지 알고리즘을 이용한 비드형상 추론시스템의 개발이 가능하였다..

## 참고문헌

1. 김일수, 권육현, 박창언, “GMA 공정중 용접변수들이 용접폭에 미치는 영향에 관한 연구”, 대한용접학회지 14권 4호, pp.204~213, 1996
2. S. J. Na, J. S. Sin and J. W. Kim, “A Study on seam Tracking and Arc Data Monitoring for Sheet Metal Welding”, Int. Conf. on Computerization of Welding Information IV, November 3-6, Orlando Florida, pp.240~250, 1992
3. 임태균, 조형석, 부광석, “신경회로를 이용한 GMA 용접공정에서의 용융지의 크기 제어”, 대한용접학회지 12권 1호, pp.59~72, 1994
4. 안재현, 김재웅, “박판 GMA 용접에서 단락주파수를 이용한 이면비드의 제어에 관한 연구”, 대한용접학회지 13권 4호, pp.330~339, 1995
5. 강문진, 이세현, “GMA 용접에 있어서 아크 안정화를 위한 퍼지제어기 개발에 관한 연구”, 한국정밀공학회지 제 16권 제 12호, pp.152~160, 1999
6. 우성문, “용접기술”, 대구경북지방중소기업청, 1996
7. T. Takagi and M. Sugeno, “Fuzzy Identification of Systems and Its Application to Modeling and Control”, IEEE Trans. On SMC, 15-1, pp.116~132, 1985